

荧光探针法研究铅离子对小牛胸腺 DNA 构象的影响

赵霞, 范阔海 (山西农业大学临床兽医实验室, 山西太谷 030801)

摘要 [目的] 利用荧光探针法研究铅离子与 DNA 的作用方式。[方法] 采用紫外可见分光光度法检测了 DNA 的纯度, 采用荧光滴定法研究了铅离子对 DNA 构象的影响。[结果] 随着铅离子的加入, DNA-EB 复合物的荧光强度逐渐降低。在 DNA-EB 体系中加入铅离子后, 荧光强度随着铅离子浓度的增加而降低, 且荧光峰位略有红移。按生物分子的荧光寿命 τ_0 为 10 ns 计算, DNA-EB 与铅离子的双分子猝灭常数分别为 1.01×10^{13} 和 $4.0 \times 10^{14} \text{ L}/(\text{mol} \cdot \text{s})$, 二者均大于生物分子的最大动态猝灭常数 $2.0 \times 10^{10} \text{ L}/(\text{mol} \cdot \text{s})$, 说明由铅离子引起的 DNA-EB 的荧光猝灭属于静态猝灭。根据斜率和外推截距计算出 DNA-EB 与猝灭剂的解离常数为 $1.13 \times 10^{-5} \text{ mol/L}$ 。铅离子与 DNA-EB 的结合位点为 5.56, 结合常数为 1.51×10^{29} 。[结论] 铅离子容易与 DNA 结合, 引起 DNA 构象的变化。

关键词 荧光探针; 小牛胸腺 DNA; DNA 构象

中图分类号 Q5-33 **文献标识码** A **文章编号** 0517-6611(2009)34-16859-02

Research on the Influences of Lead Ions on the Conformation of Calf-thymus DNA by Fluorescence Probe Method

ZHAO Xia et al (Laboratory of Clinical Veterinary, Shanxi Agricultural University, Taigu, Shanxi 030801)

Abstract [Objective] The purpose was to research the action mode of lead ions and DNA by fluorescent probe method. [Method] The purity of DNA was detected by UV-vis spectrophotometry and the influence of lead ions on DNA conformation was researched by fluorescence titration. [Result] The fluorescence intensity of DNA-EB compound was decreased gradually along with the addition of lead ions. After the lead ions were added into DNA-EB system, the fluorescence intensity was decreased as the concn. of lead ions was increased and the fluorescent peak-position was a little red shifted. The fluorescence lifetime τ_0 of biological molecular was 10 ns, it was calculated out according to this that the double-molecular quenching constants of DNA-EB and lead ions were 1.01×10^{13} and $4.0 \times 10^{14} \text{ L}/(\text{mol} \cdot \text{s})$ resp., both of them were bigger than the maximum dynamic quenching constant, which was $2.0 \times 10^{10} \text{ L}/(\text{mol} \cdot \text{s})$, indicating that the fluorescent quenching induced by lead ions of DNA-EB belong to statistic quenching. According slope and extrapolation intercept, it was calculated out that the dissociation constant of DNA-EB and quencher was $1.13 \times 10^{-5} \text{ mol/L}$. The binding site of lead ions on DNA-EB was 5.56 and their binding constant was 1.51×10^{29} . [Conclusion] It was easy for lead ions to combine with DNA and induce the change of DNA conformation.

Key words Fluorescence probe; Calf-thymus DNA; DNA conformation

DNA 是生物体的重要组成物质, 是基因表达的物质基础。DNA 与金属络合物相互作用的研究已引起人们的广泛关注^[1]。早在 20 世纪 80 年代中期, Barton 等在研究金属络合物与 DNA 的作用时, 发现 Ru^{2+} 、 Co^{3+} 的八面手性金属络合物具有识别 DNA 二级结构的能力^[2-3], 从而发展了一种能识别 B 型 DNA 的手性络合物探针。斯兰等用溴化乙锭 (EB) 作探针研究了 $\text{Fe}(\text{phen})_3\text{Cl}_2 \cdot 6\text{H}_2\text{O}$ 等手性金属络合物与 DNA 的作用机理^[4]。

EB 与 DNA 相互作用的方式可用 Scatchard 方程^[5-6] 来描述, 即 $r/c = K(n-r)$; 式中, r 为 DNA 上平均每个核苷酸键合的 EB 分子数, n 为每个核苷酸上的成键位点数, K 为每一位点固有的结合常数, c 为游离的 EB 浓度。据此, 笔者采用 EB 作为探针, 研究铅离子 (Pb^{2+}) 与 DNA 的作用方式。

1 材料与方法

1.1 仪器与试剂 荧光分光光度计 (F-2500, HITACHI), 紫外可见分光光度计 (UV-2100, UNICO), GDR 凝胶成像分析系统 (Syngene)。Tris、SDS、EB 为公司产品, 试验用水为去离子后的双蒸水。 Pb^{2+} 标准溶液为国家环境保护总局标准样品研究所提供。

1.2 方法

1.2.1 DNA 纯度的检测。 将购买得到的 DNA 用紫外法进行检测, 测定该 DNA 溶液的 A 值。 $A_{260}/A_{280} = 1.8$ 。

1.2.2 DNA 浓度测定。 将提取得到的 DNA 溶于双蒸水溶液中, 于 4 ℃ 在冰箱中保存 7 d, 期间轻轻振荡使溶液充分混

匀。在 UV-2100 上测 A_{260} , 通过朗伯-比尔定律, 利用 $\varepsilon_{260} = 6600 \text{ L}/(\text{mol} \cdot \text{cm})$, 计算 DNA 浓度^[7]。

1.2.3 荧光测定(采用荧光滴定法)。 ①DNA 与 EB 结合常数与位点计算。DNA 与 EB 结合常数实验是在某一固定浓度的 DNA 中用 EB 进行滴定。固定最佳激发波长 ($\lambda_{ex} = 535 \text{ nm}$) 和最佳发射波长 ($\lambda_{em} = 595 \text{ nm}$), 测定加入不同 EB 量时的荧光强度。② Pb^{2+} 对 DNA 构象的影响。首先在 DNA 溶液中滴加 EB 使 DNA 与 EB 全部结合, 最终形成 DNA-EB 复合物, 然后分别用 Pb^{2+} 进行滴定, 反应 3 min 后测定溶液的荧光强度, 记录数据并分析。

2 结果与分析

2.1 Pb^{2+} 对 DNA-EB 荧光光谱的影响 Pb^{2+} 对 DNA-EB 复合物体系荧光强度的影响如图 1、2 所示。结果显示, 随着 Pb^{2+} 的加入, DNA-EB 复合物的荧光强度逐渐降低。溴化乙锭是一种经典的嵌入式荧光探针, 它本身的荧光很弱, 但与 DNA 作用后, 其生色团嵌入碱基对中使荧光强度增加^[8]。 Pb^{2+} 几乎没有荧光, 在 DNA-EB 体系中加入金属离子后, 荧光强度随着 Pb^{2+} 浓度的增加而降低, 且荧光峰位略有红移。这是由于 Pb^{2+} 竞争结合 EB-DNA 中的 DNA, 使溴化乙锭分子从疏水环境进入亲水环境, 从而引起荧光强度降低。

2.2 Pb^{2+} 对 DNA-EB 荧光猝灭方式的判断 荧光猝灭机制主要包括动态猝灭和静态猝灭。一般情况下, 动态猝灭和静态猝灭可依据不同温度下的结果加以区别。对于动态猝灭, 随温度的升高, 将增加离子有效碰撞的数目, 加剧电子的转移, 使荧光物质的猝灭常数随温度的升高而增大, 若是静态猝灭则温度升高将降低复合物的稳定性, 使猝灭常数减小。当荧光体与猝灭体由于热运动等发生双分子碰撞时服从 Stern-Volmer 方程: $F_0/F = 1 + Kq\tau_0 [Q] = 1 + K_{sv} [Q]$ ^[9]; 其

作者简介 赵霞(1984-), 女, 山西长治人, 硕士研究生, 研究方向: 中药调节动物免疫及分子机制。

收稿日期 2009-07-29

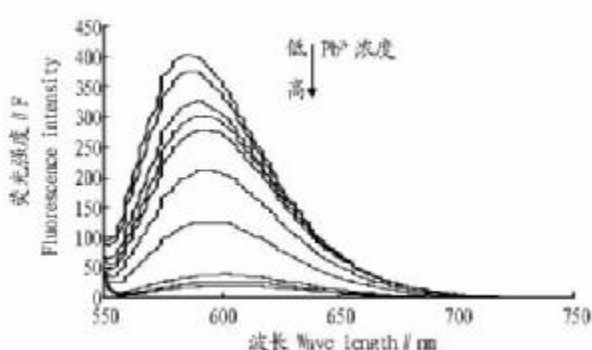
图 1 不同浓度 Pb^{2+} 存在下 DNA-EB 复合物的荧光猝灭曲线

Fig. 1 The fluorescence quenching spectrum of DNA-EB under different Pb^{2+} concentrations

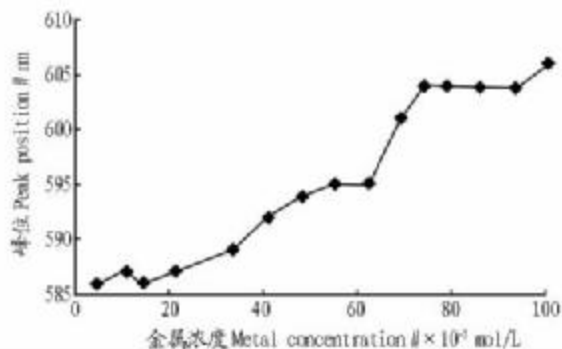
图 2 不同浓度 Pb^{2+} 对 DNA-EB 复合物荧光的最大发射峰的影响

Fig. 2 Effects of different concentrations Pb^{2+} on the curve of the red shift of the maximum emission wavelength of DNA-EB

中, F_0 、 F 分别为 DNA-EB 与金属离子作用前后 DNA-EB 的荧光强度, $[Q]$ 为加入金属离子的浓度, τ_0 为猝灭剂不存在时荧光体的寿命, K_q 为双分子猝灭过程速率常数, K_{SV} 为动态猝灭常数。根据化学平衡可得由此引起的静态猝灭满足 $F_0/F = 1 + K_{SV}[Q]$ 。根据试验, 以 F_0/F 与对应的 $[Q]$ 作图 (图 3)。按 Stern-Volmer 方法处理, 两直线区域 KSV 分别为 1.01×10^5 、 $4.0 \times 10^6 \text{ L/mol}$ 。按生物分子的荧光寿命 τ_0 为 10 ns 计算^[10], 双分子猝灭常数分别为 1.01×10^{13} 、 $4.0 \times 10^{14} \text{ L/(mol·s)}$, 此两值大于生物分子的最大动态猝灭常数 $2.0 \times 10^{10} \text{ L/(mol·s)}$, 说明两直线区域不是动态猝灭。因此, Pb^{2+} 引起 DNA-EB 荧光猝灭属于静态猝灭。为了进一步说明这种静态猝灭行为, 按 Lineweaver-Burk 方程 $(F_0 - F)^{-1} = F_0^{-1} + K_D(F_0[Q])^{-1}$ ^[11], 以 $(F_0 - F)^{-1}$ 对 $[Q]^{-1}$ 作图可以得到一条直线, 通过斜率和外推截距可求出 DNA-EB 与猝灭剂的解离常数, K_D 为 $1.13 \times 10^{-5} \text{ mol/L}$ (图 4)。

2.3 Pb^{2+} 与 DNA-EB 结合位点的计算 对于静态猝灭过程, 可按静态猝灭公式 $\lg(F_0 - F)/F = \lg K_A + n \lg [Q]$ ^[12]; 其中, F_0 、 F 分别为 DNA-EB 起始荧光强度、加入某一浓度 Pb^{2+} 时的荧光强度, K_A 为结合常数, n 为金属与 DNA 的结合位点。根据荧光强度按公式, 以 $\lg(F_0 - F)/F$ 对 $\lg[\text{Pb}^{2+}]$ 作图 (图 5)。经线性拟合可得直线方程, 斜率和截距分别是结合位点数 n 及结合常数 K_A 。根据线性拟合方程可知, Pb^{2+} 与 DNA-EB 的结合位点为 5.56, 结合常数为 1.51×10^{29} 。

3 讨论

(1) 小分子与 DNA 的作用一般有 3 种基本模式: ① 静电

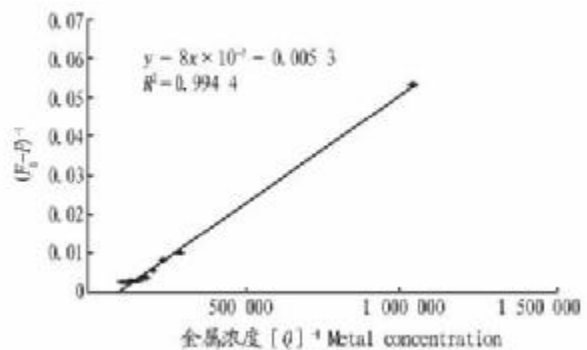
图 3 Pb^{2+} 对 DNA-EB 复合物荧光猝灭的 Stern-Volmer 图

Fig. 3 Stern-Volmer Plots for the quenching of DNA-EB by Pb^{2+}

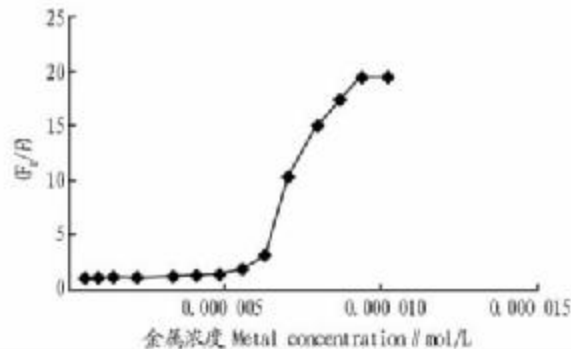
图 4 Pb^{2+} 对 DNA-EB 复合物荧光猝灭的 Lineweaver-Burk 图

Fig. 4 Lineweaver-Burk Plots for the quenching of DNA-EB by Pb^{2+}

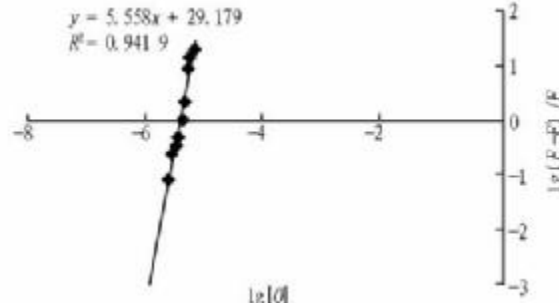
图 5 $\lg(F_0 - F)/F$ 对 $\lg[\text{Pb}^{2+}]$ 作图结果

Fig. 5 The plots of $\lg(F_0 - F)/F$ versus $\lg[\text{Pb}^{2+}]$

作用。即小分子带正电的部分与带负电的磷酸根骨架发生静电引力作用。② 插入作用。具有平面结构的小分子插入到 DNA 双螺旋结构的碱基对中。③ 沟槽结合。小分子通过 DNA 分子中大沟槽及小沟槽与 DNA 的碱基发生作用^[13]。溴化乙锭是一种经典的嵌入式荧光探针, 它本身的荧光很弱, 但与 DNA 作用后, 其生色团嵌入到碱基对中使荧光强度增加。金属离子几乎没有荧光, 在 DNA-EB 体系中加入金属离子后, 荧光强度随着金属离子浓度的增加而降低, 且荧光峰位略有红移, 这是由于金属离子竞争结合 DNA-EB 中 DNA, 使溴化乙锭分子从疏水环境进入亲水环境, 从而引起荧光强度的降低^[14]。

(2) 金属离子及其配合物同 DNA 以多种方式结合, 包括强的共价作用及弱的非共价作用, 各种作用均会对核酸产生明显的影响, 并可获得位点特异性的反响。显然, 以配位化

(下转第 16866 页)

寻找出种与种之间的差异。

后翅基部及内缘基半部黑色, 亚外缘内侧有镶黑边的红斑, 其中红珠绢蝶后翅红斑中间无白色斑点。

小红珠绢蝶后翅内缘的黑斑沿中室的端横脉伸达中室

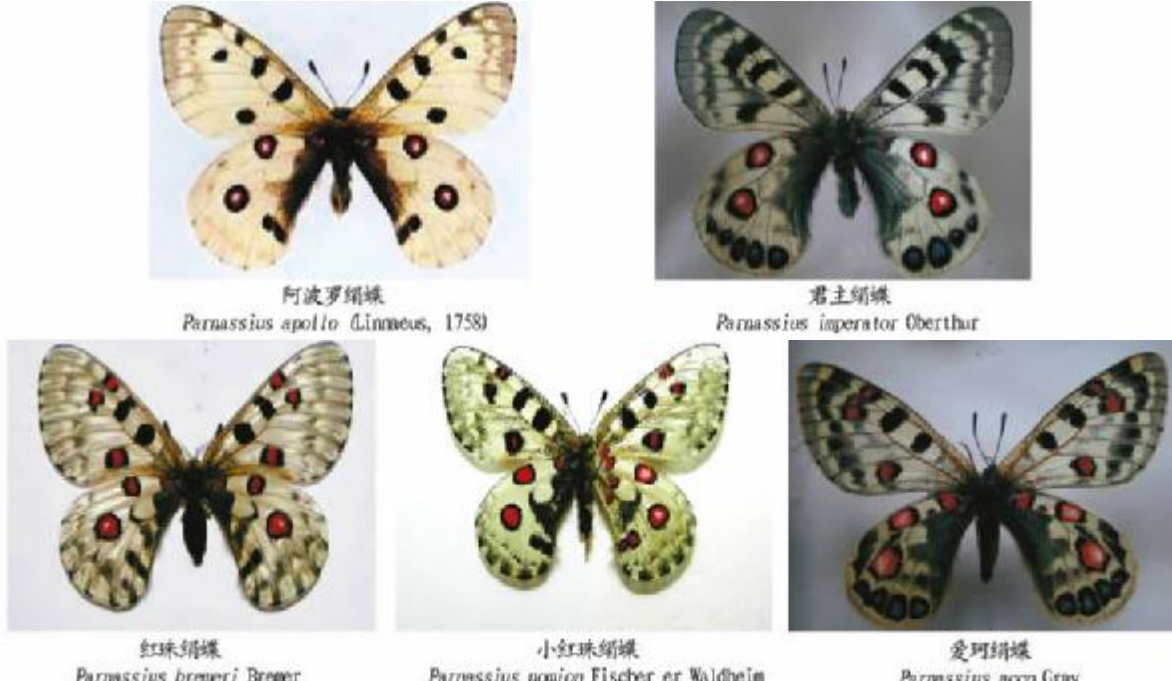


图 1 5 种绢蝶

Fig. 1 Five kinds of parnassian butterflies

参考文献

- [1] 潘鹏亮, 沈佐锐, 杨红珍, 等. 三种绢蝶翅膀数字化特征的提取及初步分析[J]. 动物分类学报, 2008, 33(3): 566–571.
[2] 丁亮, 张彦周, 朱朝东. 锯凤蝶类和绢蝶类(鳞翅目, 凤蝶科)分类地位及系谱关系初探[J]. 动物分类学报, 2007, 32(2): 355–362.

(上接第 16860 页)

学原理为基础的许多结论在处理这些相互作用时非常重要。金属离子刚加入时首先与 DNA 发生配位结合, 这时 DNA-EB 的荧光强度变化不大, 随着金属离子浓度的加大, DNA 上结合更多的金属离子使得 DNA 构象发生了变化, 这时原本嵌入在双螺旋平面中的 EB 分子由于构型上的不合适而游离至溶液中, 这使得体系的荧光强度发生了猝灭作用^[15]。

(3) Pb^{2+} 在 DNA 上结合位点为 5.558, 结合常数为 1.51×10^{29} , 这说明 Pb^{2+} 易与 DNA 结合, 引起 DNA 构象变化, 在碱基配对的双螺旋 DNA 中, 只有嘌呤上的 N7 位置在大沟中是易于接近的, 与这些位点发生配位作用, Pb^{2+} 所形成的配合物符合配位化学的基本原理, 反应活性比较高。 Pb^{2+} 在低浓度下还会与腺嘌呤 A 上的 N3 结合, 而与 A 上的 N3 结合只对 AT 碱基对有轻微的扰动, 当 Pb^{2+} 浓度增高可以打断 GC 间的氢键, 从而破坏 DNA 构象的稳定性, 这在荧光光谱也可见。当 Pb^{2+} 浓度较低时荧光猝灭不很明显, 而达到一定阈值时荧光猝灭增强, 说明外界环境毒素更易与 DNA 作用引起其结构变化, 从而引起 DNA 构象的变化, 这也证实了重金属离子 Pb^{2+} 更易引起遗传物质稳定性变化。

参考文献

- [1] 张蓉颖, 庞代文, 蔡汝秀. DNA 与其靶向分子相互作用研究进展[J]. 高

上缘, 形成大钩状, 这个特征非常明显, 为该种独特的识别特征, 有别与其他 4 种绢蝶。体形上阿波罗绢蝶最大, 君主绢蝶次之, 小红珠绢蝶最小。



君主绢蝶
Parnassius imperator Oberthur



爱珂绢蝶
Parnassius aco Gray

- [3] 刘文萍. 绢蝶属 *Parnassius* 述评[J]. 昆虫知识, 1999, 36(6): 360–363.
[4] 张如力, 张如清, 肖云峰. 绢蝶在祁连山(北坡)寺大隆林牧区的垂直分布及物种多样性[J]. 草业科学, 2005, 22(9): 9–13.
[5] 武春生, 孟宪林, 王衡, 等. 中国蝶类识别手册[M]. 北京: 科学出版社, 2007: 84–97.

- 等学校化学学报, 1999, 20(8): 1210–1217.
[2] BARTON J K. Metals and DNA: molecular left-handed complements[J]. Science, 1986, 233: 727–734.
[3] BARTON J K, RAPHAEL A L. Photoactivated stereospecific cleavage of double-helical DNA by cobalt complexes[J]. J Am Chem Soc, 1984, 106: 2466–2468.
[4] 斯兰, 杨频, 李青山. 荧光法研究手性金属配合物与 DNA 的作用机理[J]. 高等学校化学学报, 1996, 17(9): 1345–1348.
[5] LEPECQ J B, PAOLETTI C. A fluorescent complex between ethidium bromide and nucleic acids[J]. J Mol Biol, 1967, 27: 97–106.
[6] SCATCHARD G. The aggregation of proteins for small molecules and ions[J]. Ann N Y Acad Sci, 1949, 51: 660.
[7] 刘雪平, 冯素玲, 潘自红, 等. 溴化乙锭探针研究劳式青莲与脱氧核糖核酸的相互作用[J]. 光谱学与光谱分析, 2006, 26(10): 1895–1898.
[8] 林辉祥, 毕琼斯, 彭桦, 等. 钨钼抗癌配合物初步筛选的荧光法研究[J]. 高等学校化学学报, 1992, 13(2): 443–446.
[9] 陈国珍, 黄贤智, 郑朱梓, 等. 荧光分析法[M]. 北京: 科学出版社, 1990.
[10] LAKOWICA J R, WEBER G. Quenching of fluorescence by oxygen. A probe for structural fluctuations in macromolecules[J]. Biochemistry, 1973, 12: 4161–4170.
[11] 杨曼曼, 杨频, 张立伟. 荧光法研究咖啡酸类药物与白蛋白的作用[J]. 科学通报, 1994, 39(1): 31.
[12] 杨斌盛, 杨频. 人血清白蛋白与金属离子作用的荧光光谱研究[J]. 生物化学与生物物理进展, 1992, 19(2): 110–114.
[13] 郑朝华, 叶宝芬, 杜迎翔, 等. 左氧氟沙星与小牛胸腺 DNA 相互作用的荧光光谱研究[J]. 中国医药工业杂志, 2004, 35(12): 740–743.
[14] 千宁, 葛从辛. 环丙氟沙星荧光谈针对小牛胸腺 DNA 相互作用的研究[J]. 光谱学与光谱分析, 2006, 26(12): 2276–2279.
[15] 杨频, 高飞. 生物无机化学原理[M]. 北京: 科学出版社, 2002.